



1 / 27

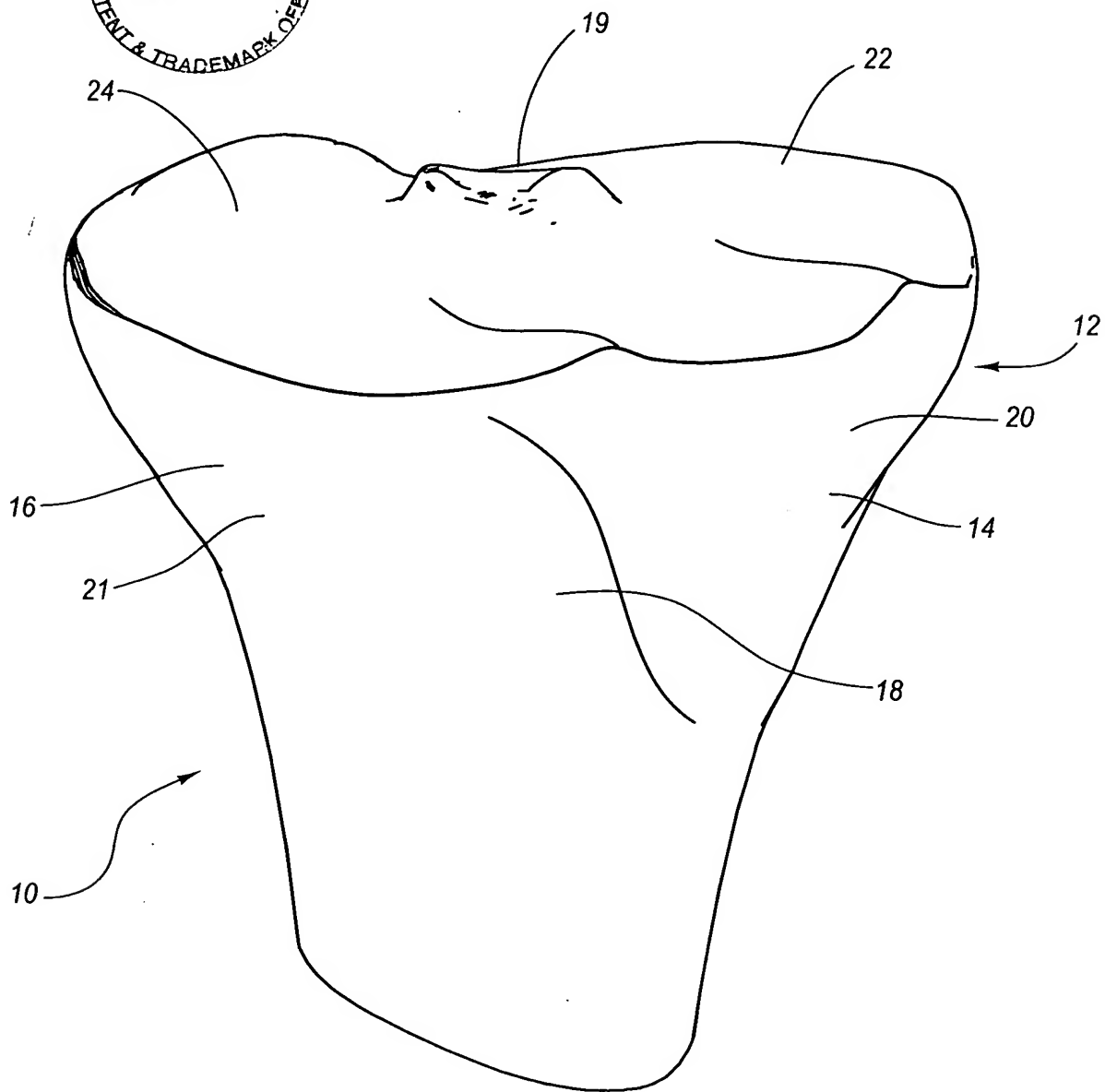
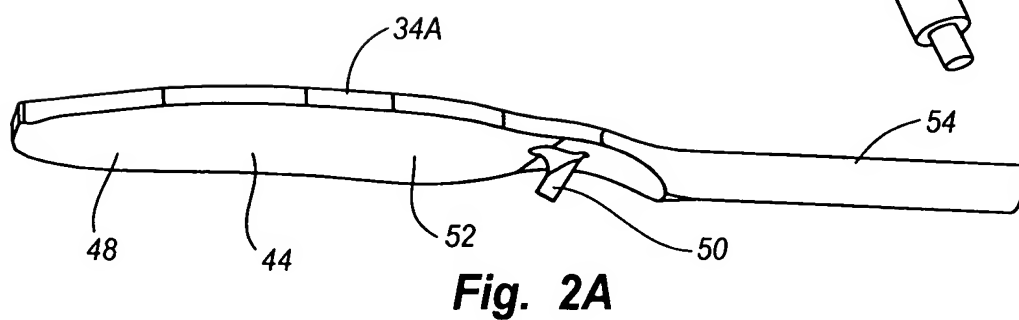
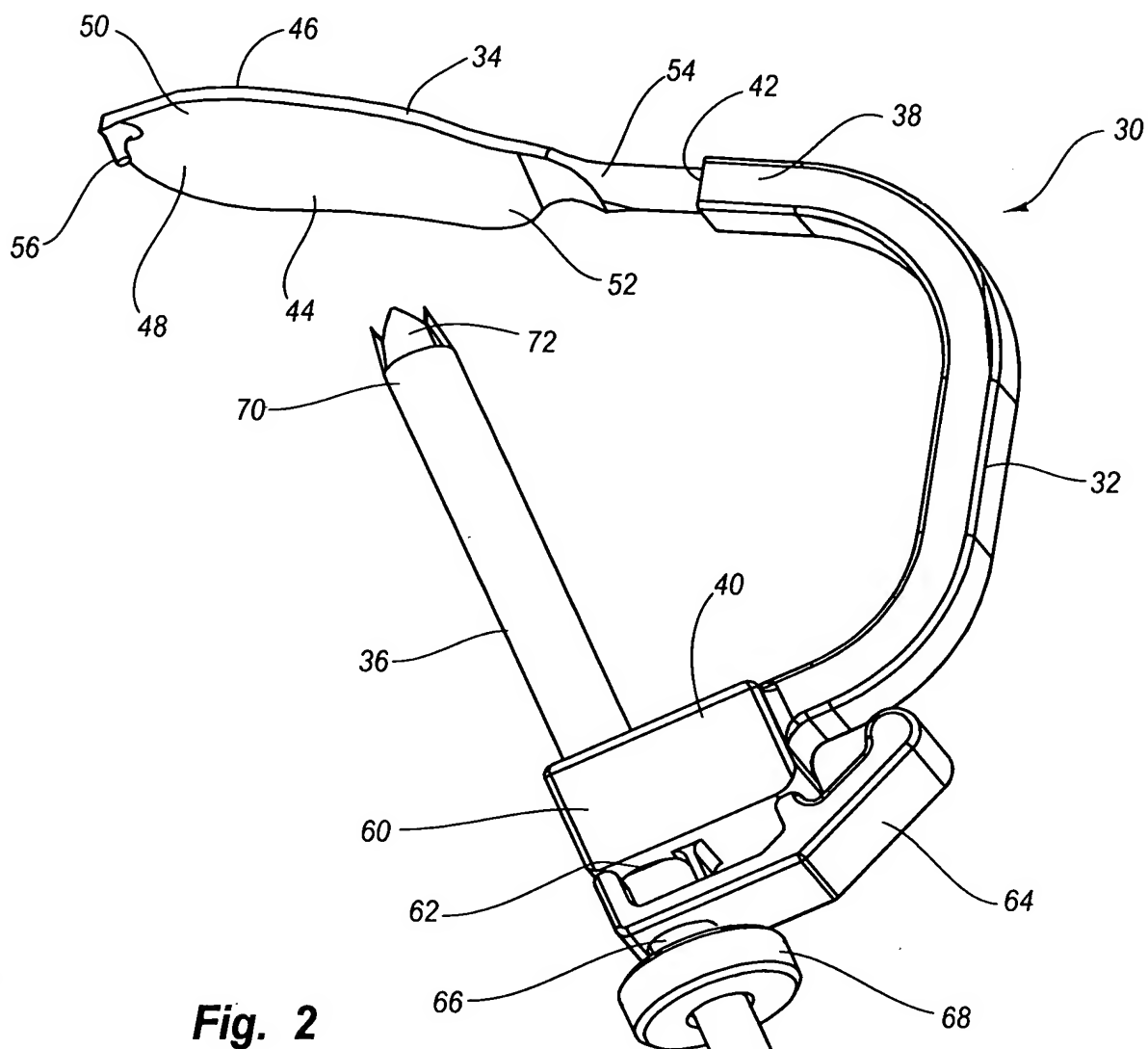


Fig. 1

2 / 27



4 / 27

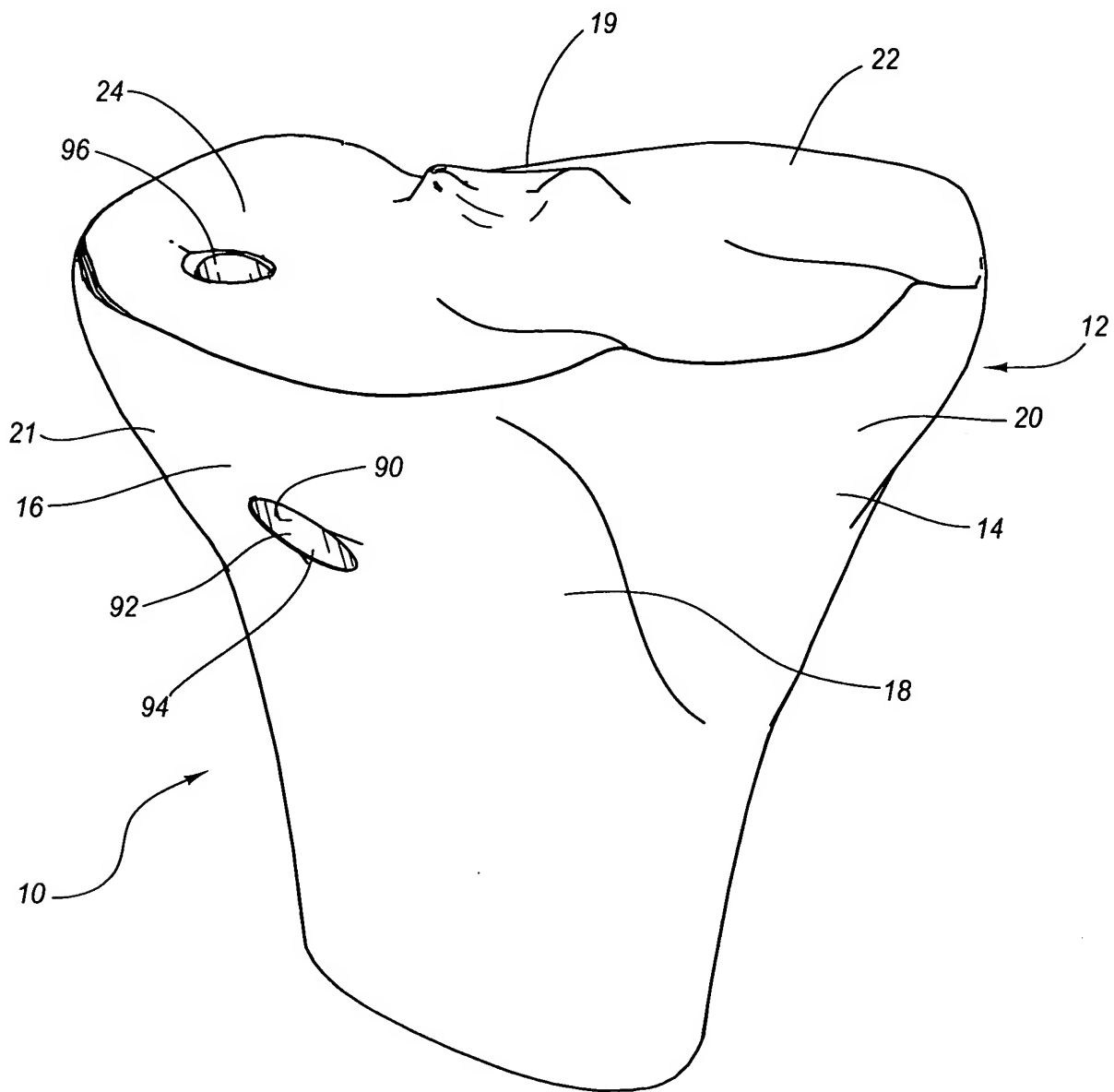
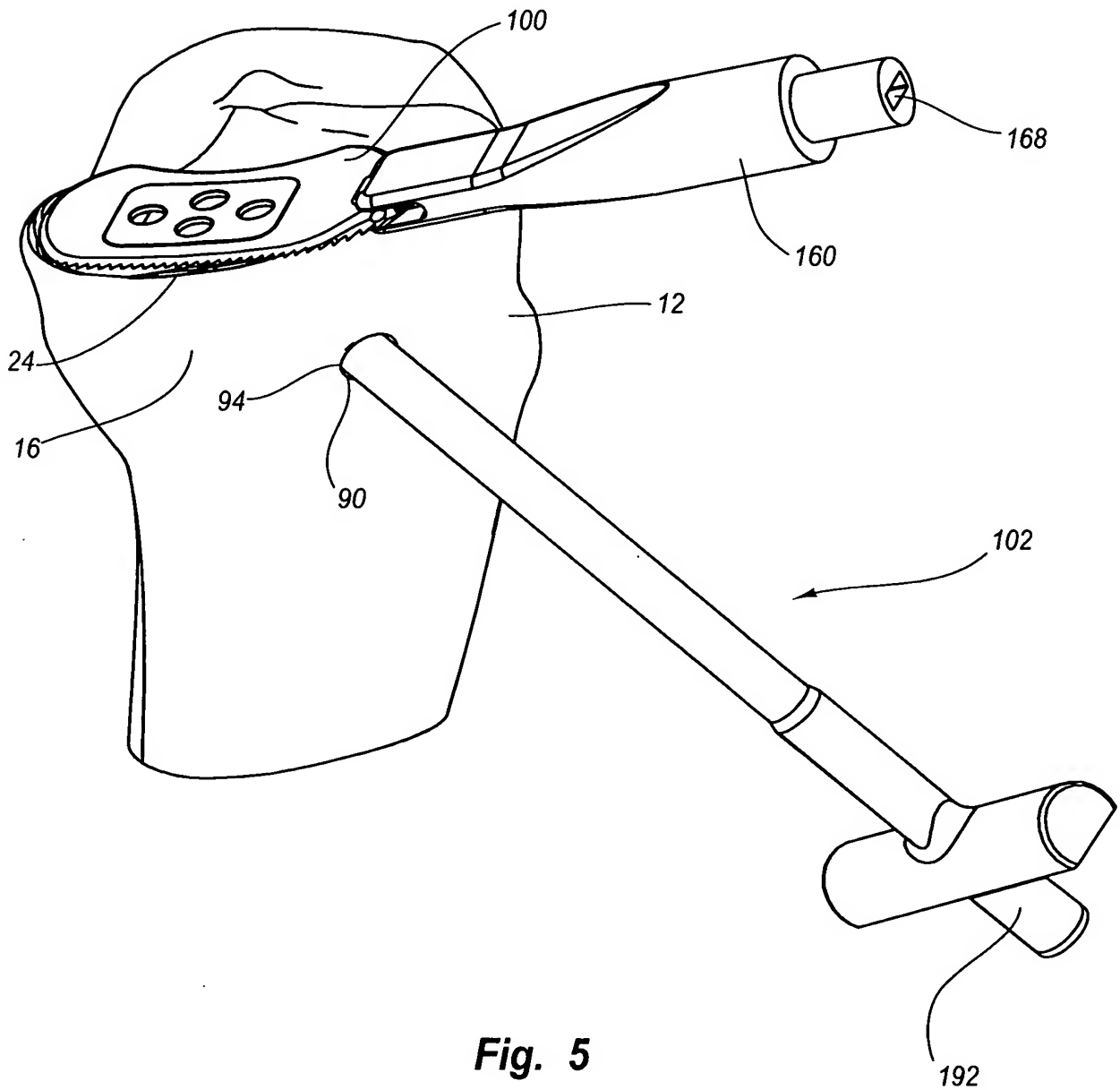


Fig. 4

5 / 27



6 / 27

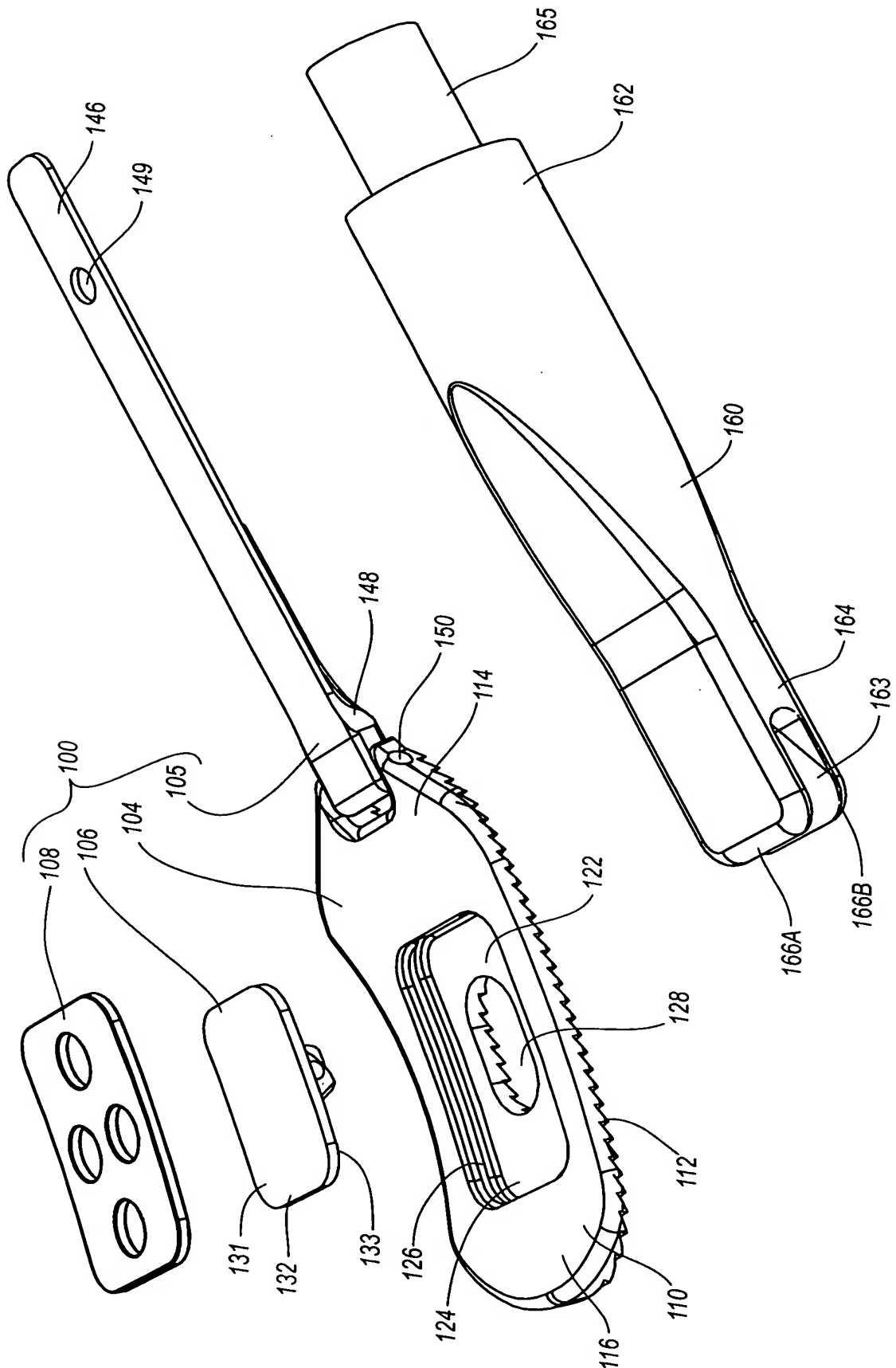


Fig. 6

7 / 27

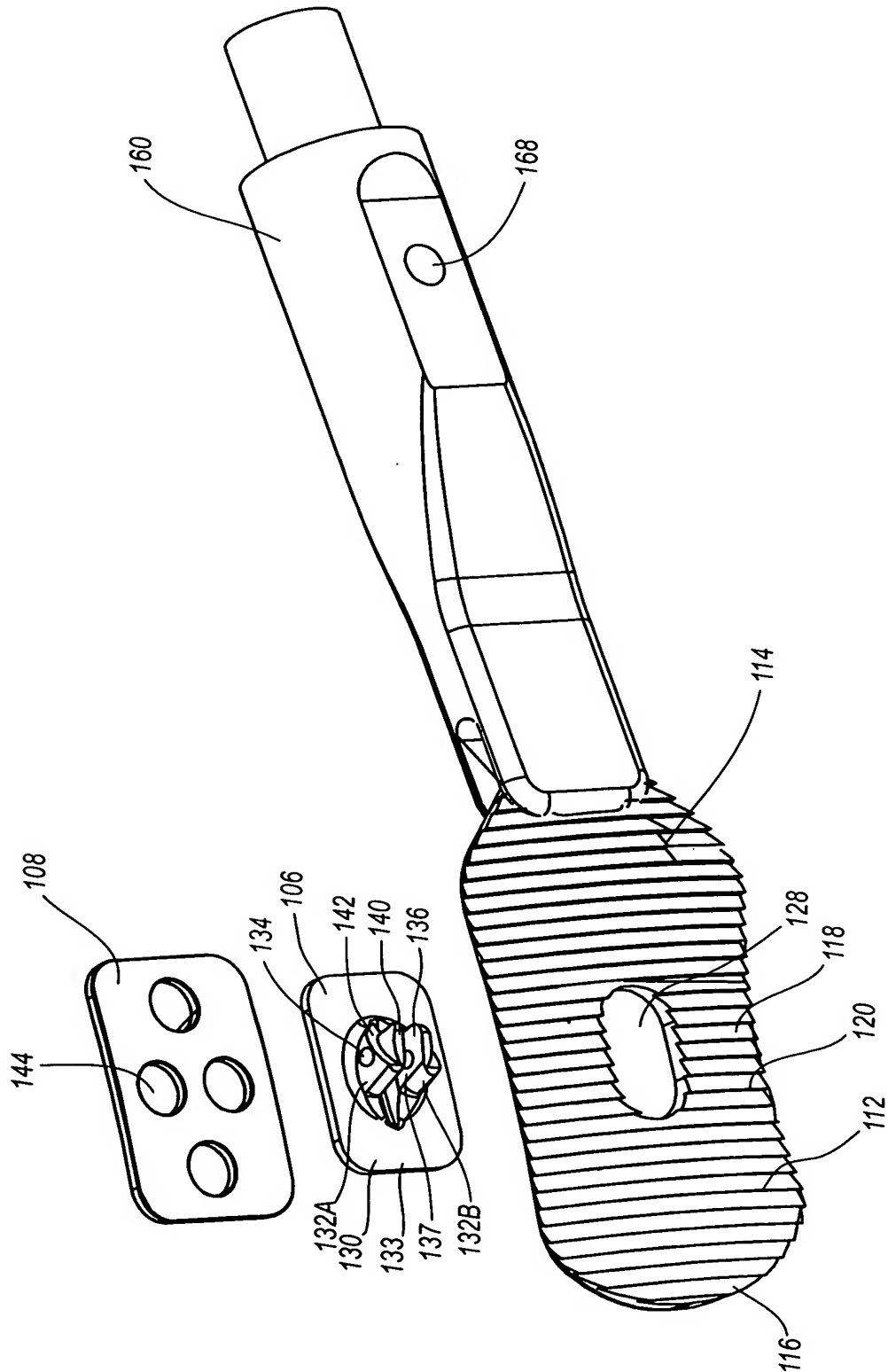


Fig. 7

8 / 27

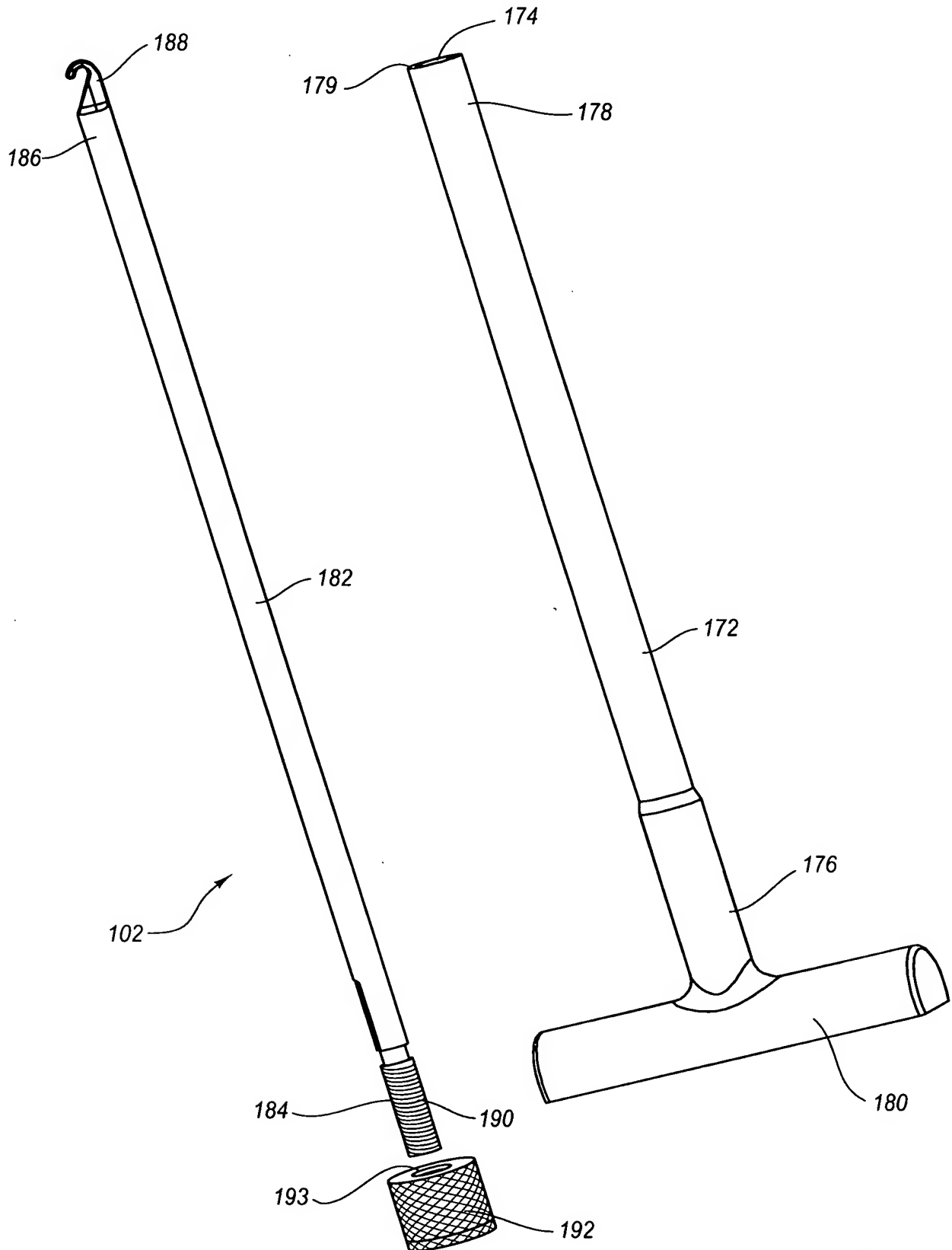


Fig. 8

9 / 27

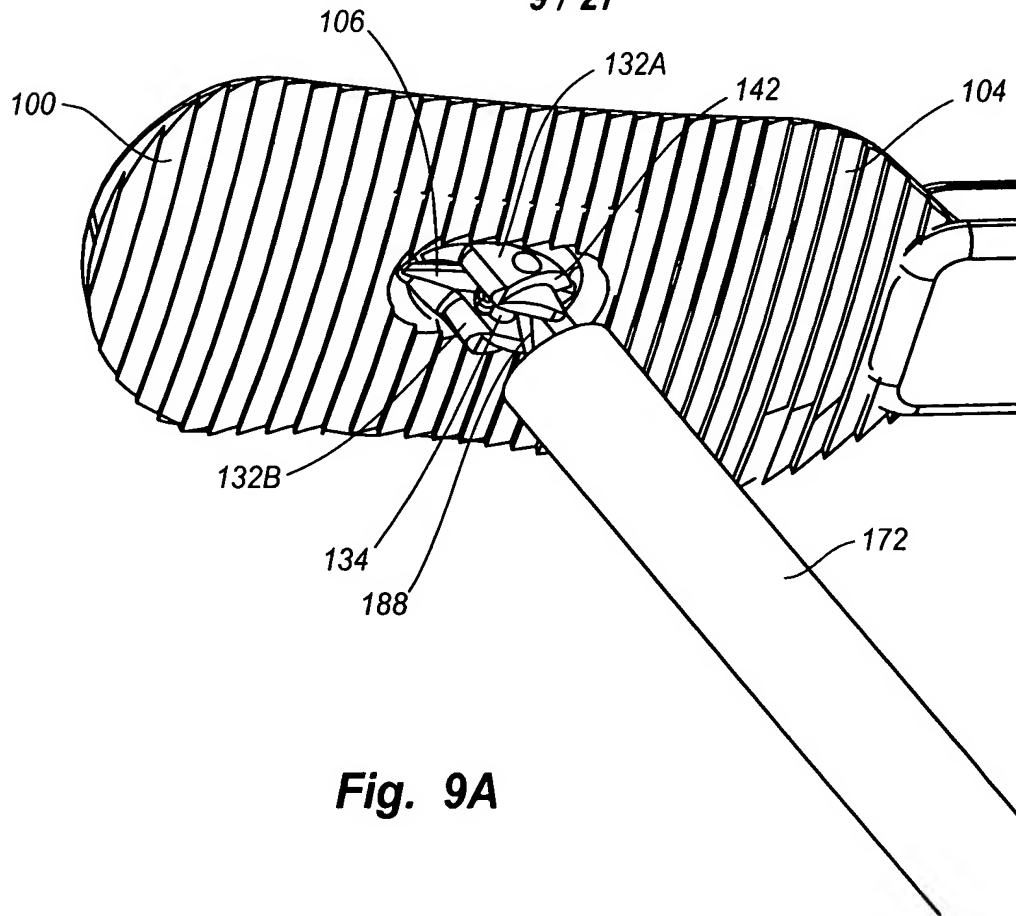


Fig. 9A

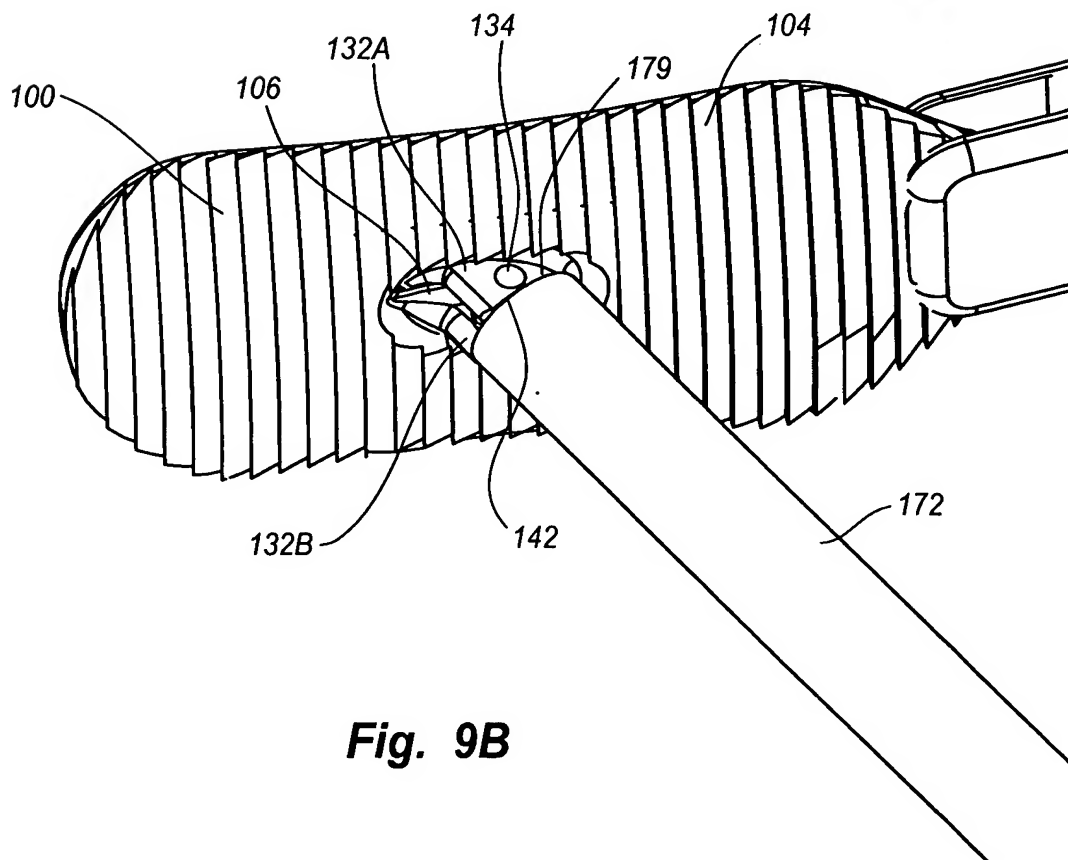


Fig. 9B

10 / 27

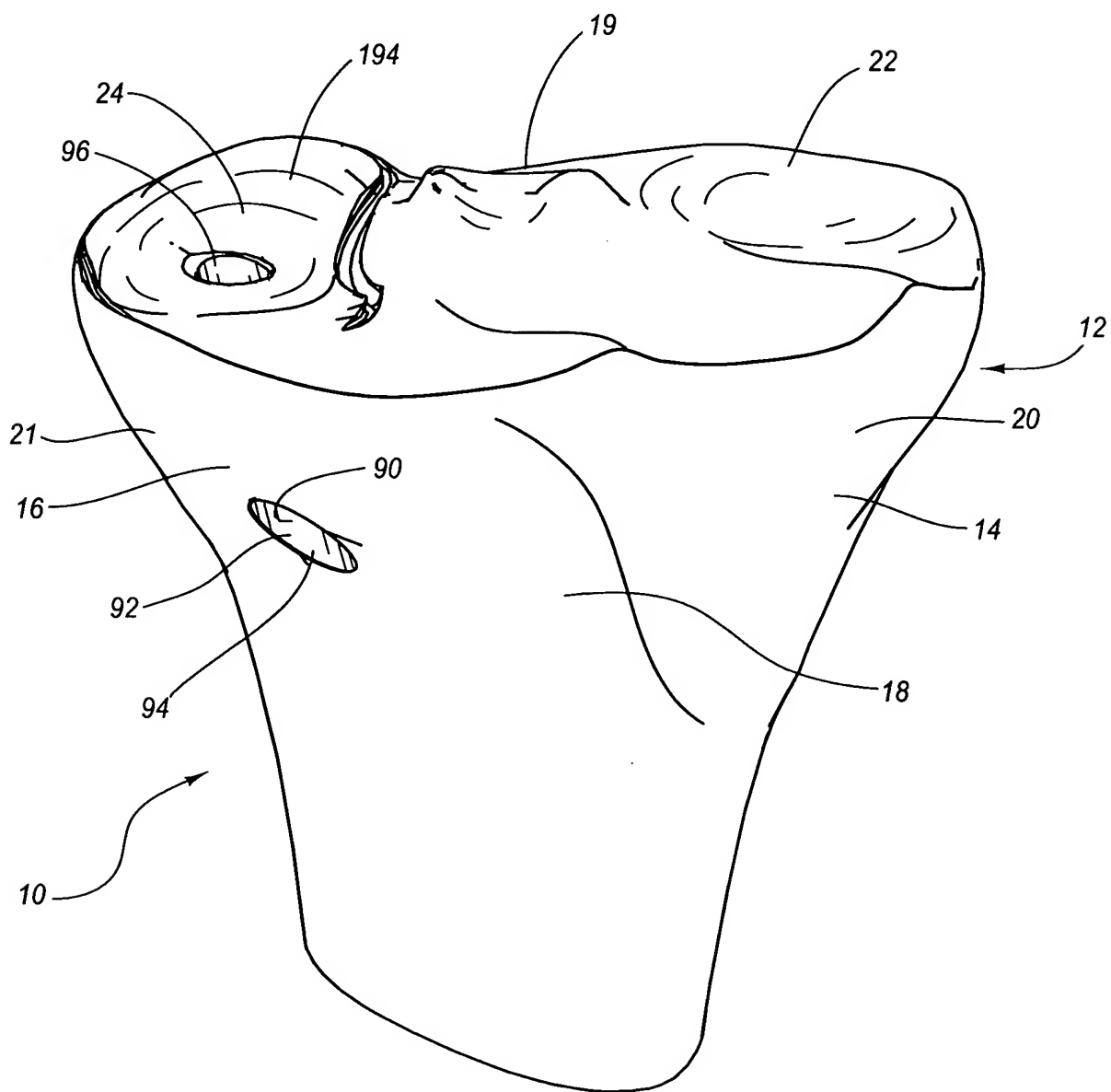


Fig. 10

11 / 27

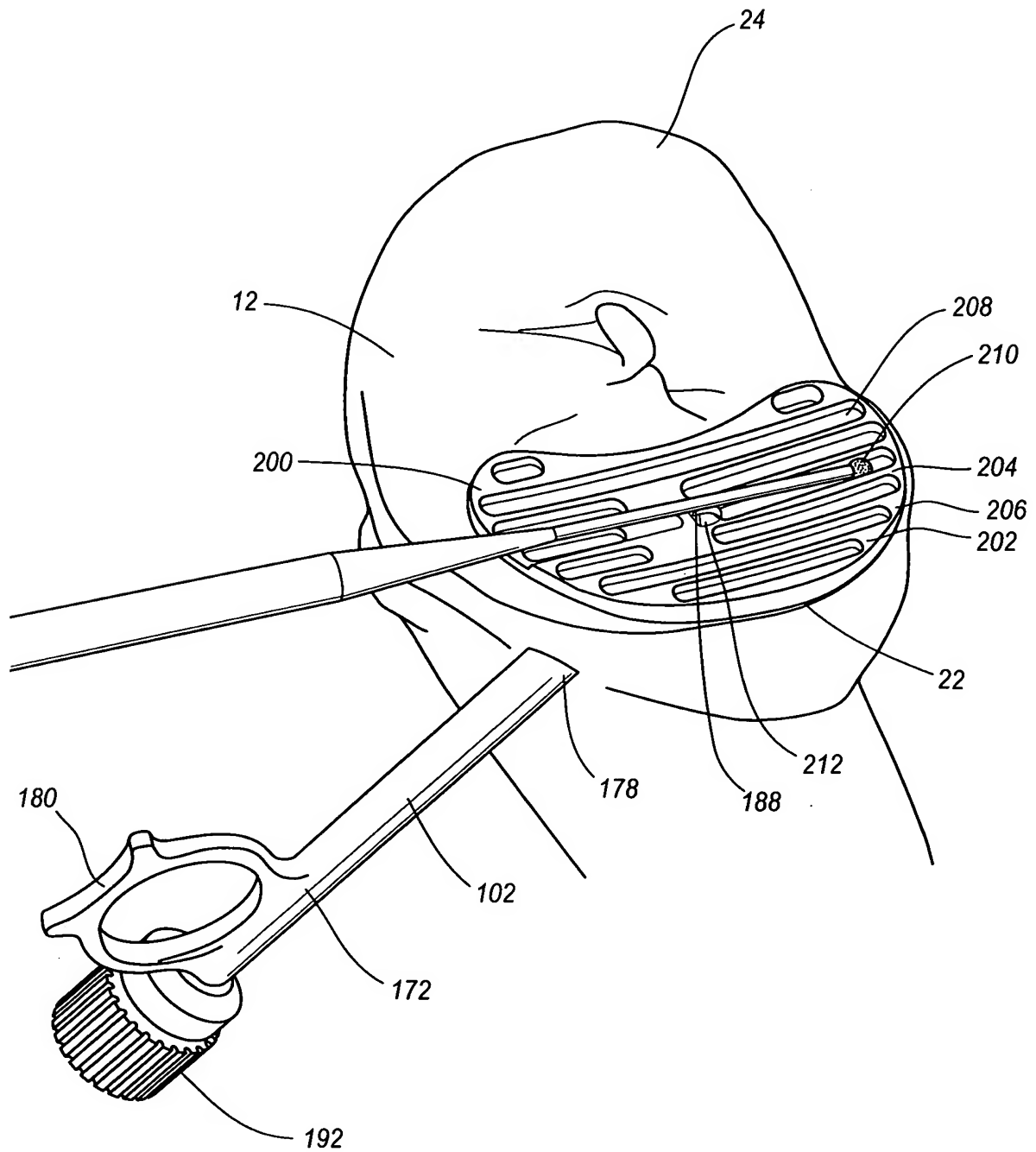


Fig. 11

12 / 27

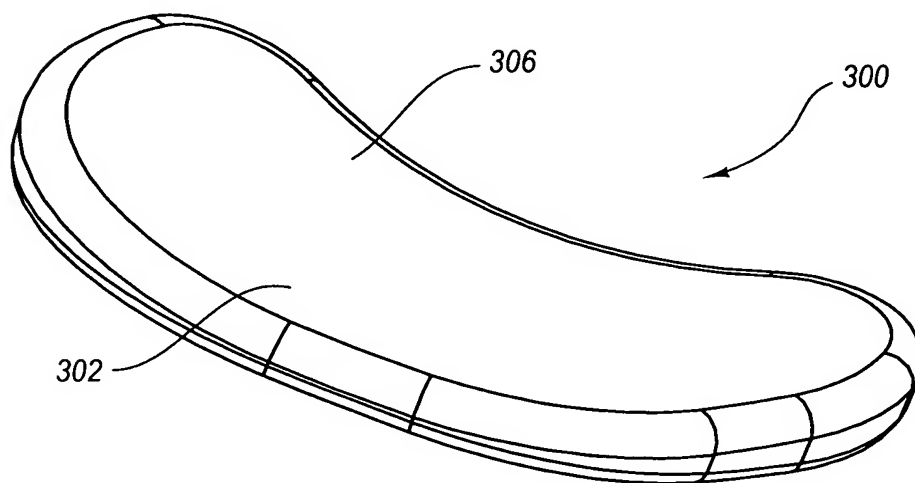


Fig. 12A

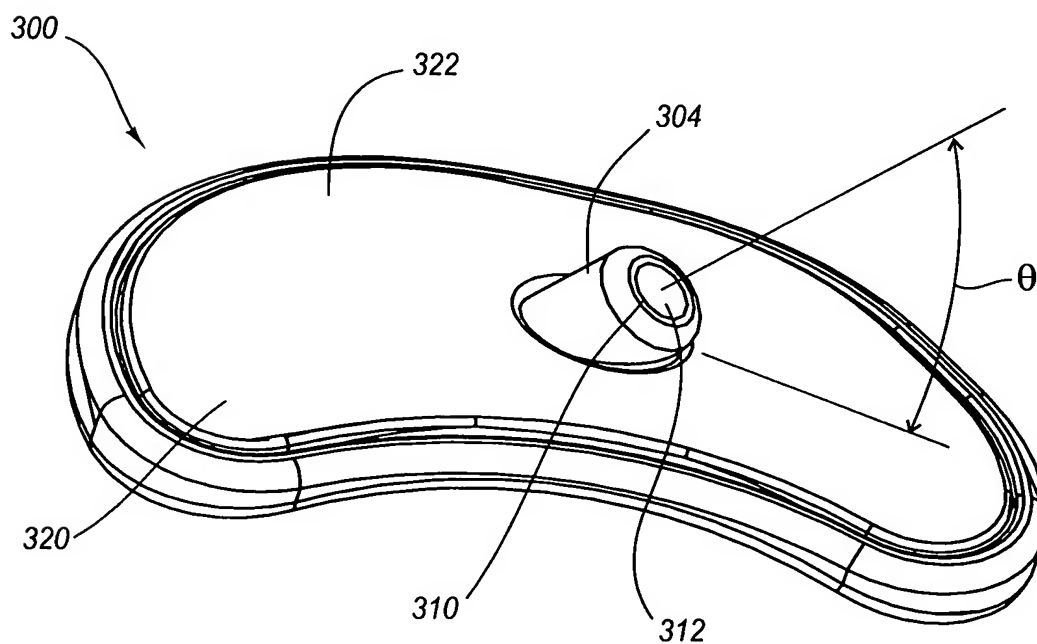


Fig. 12B

13 / 27

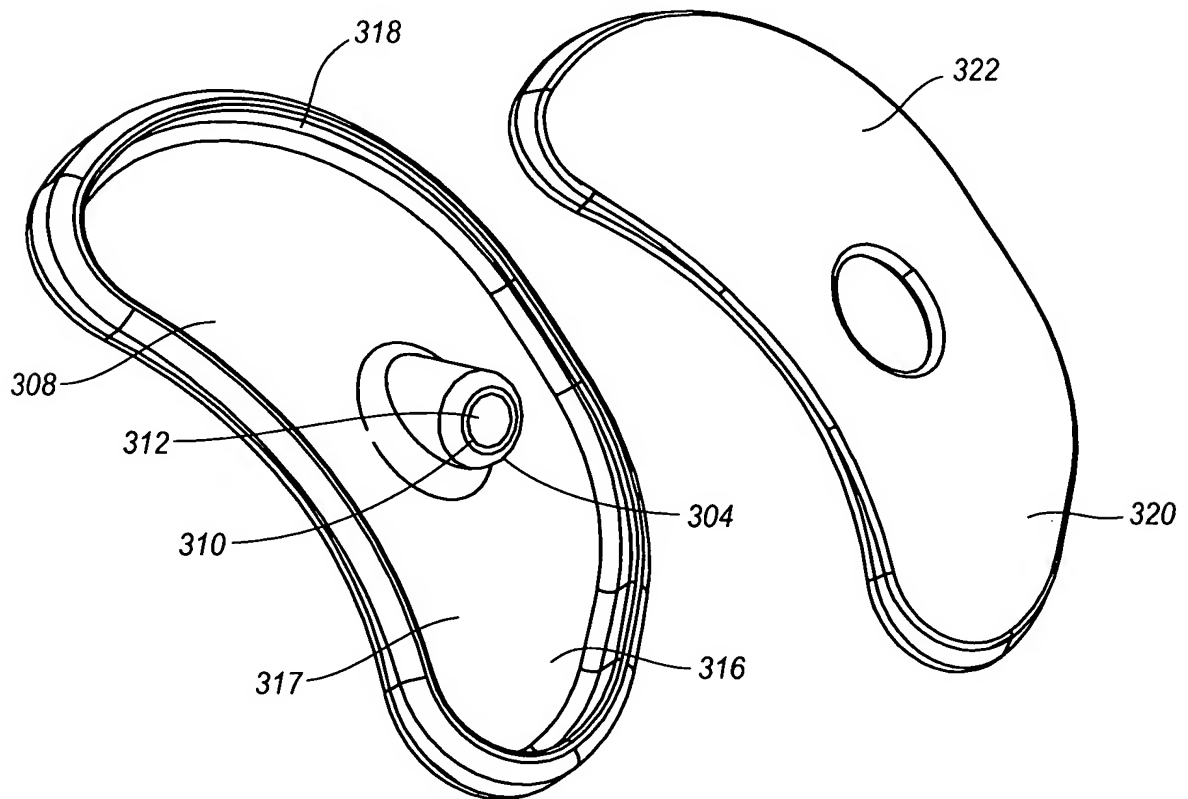


Fig. 12C

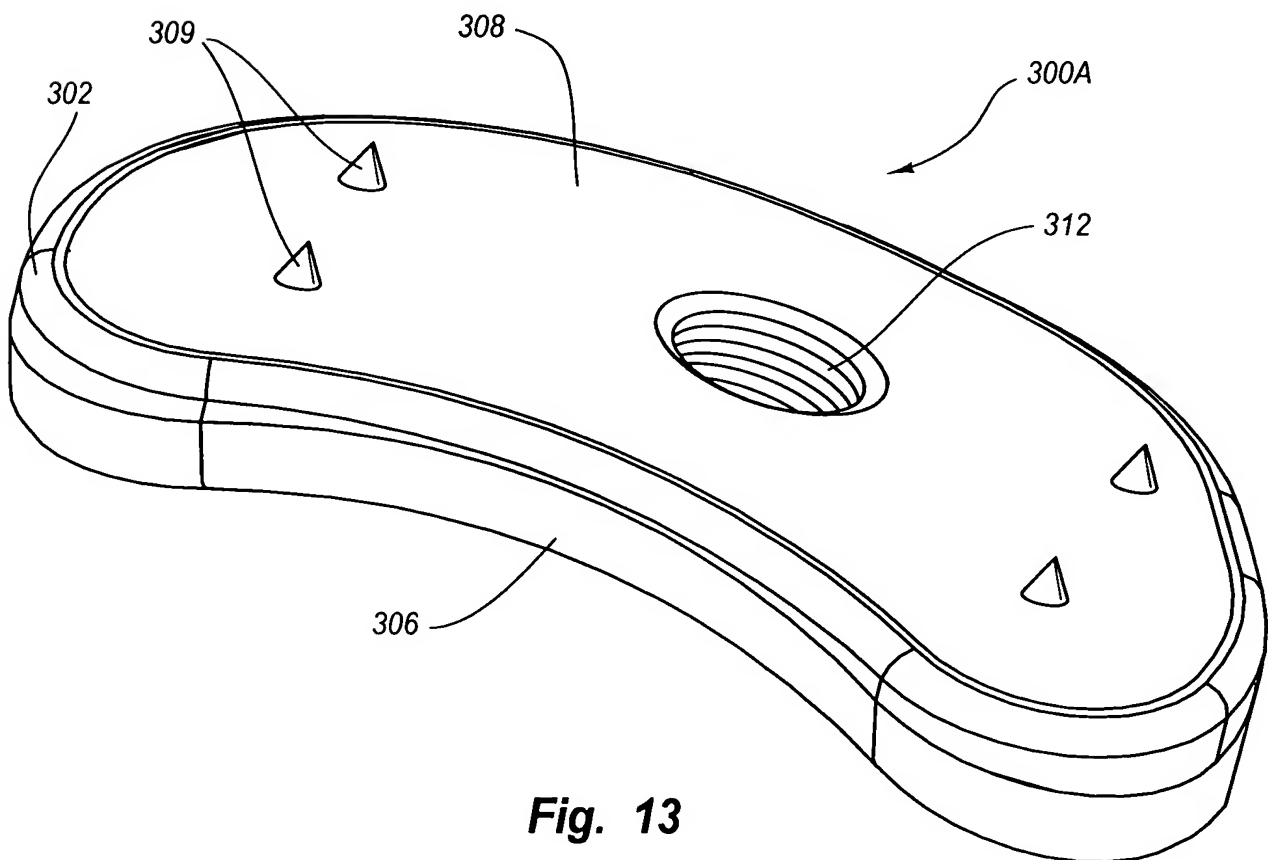


Fig. 13

14 / 27

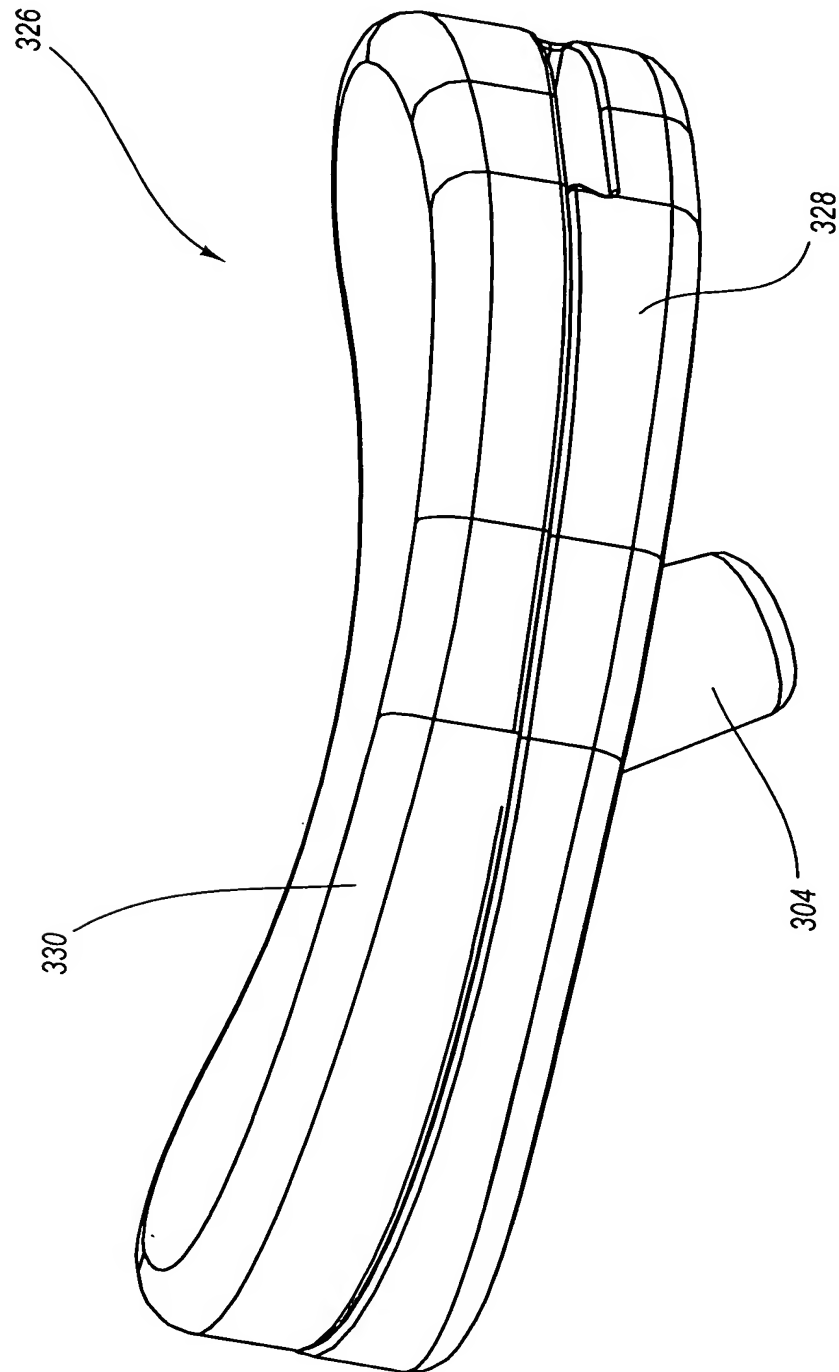
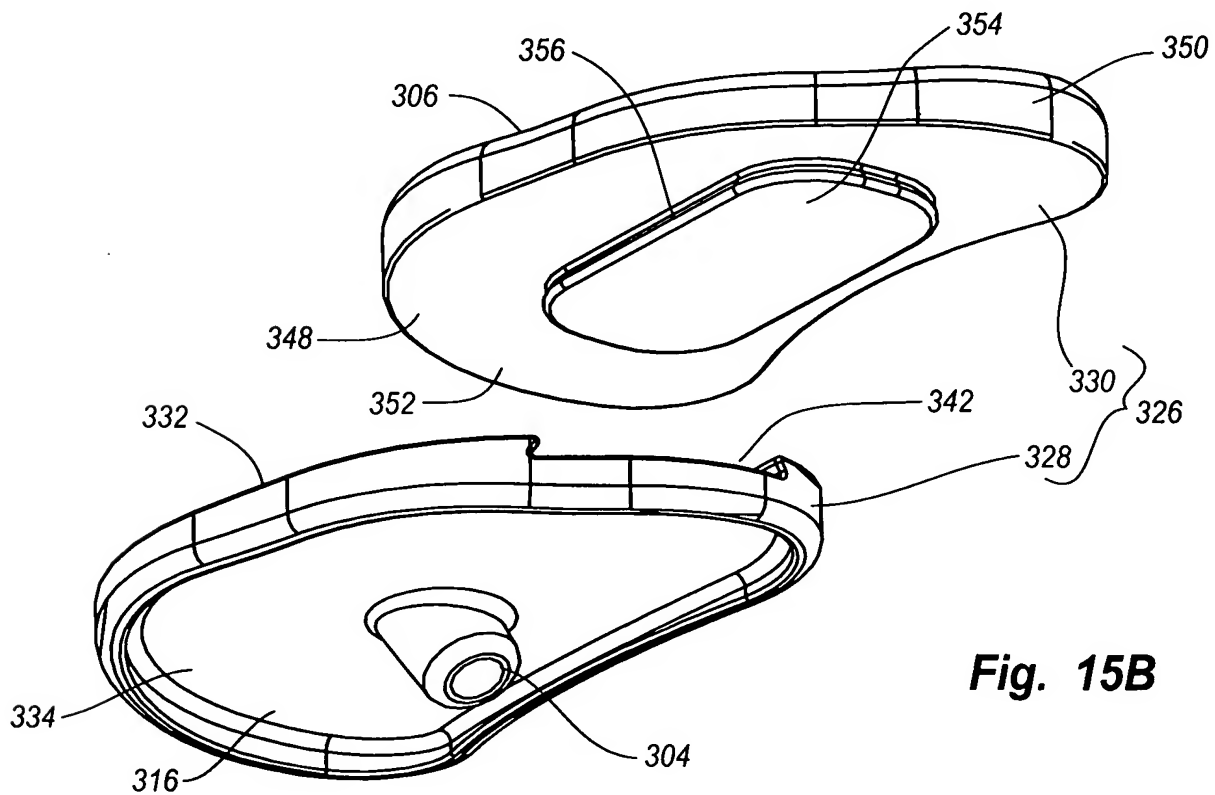
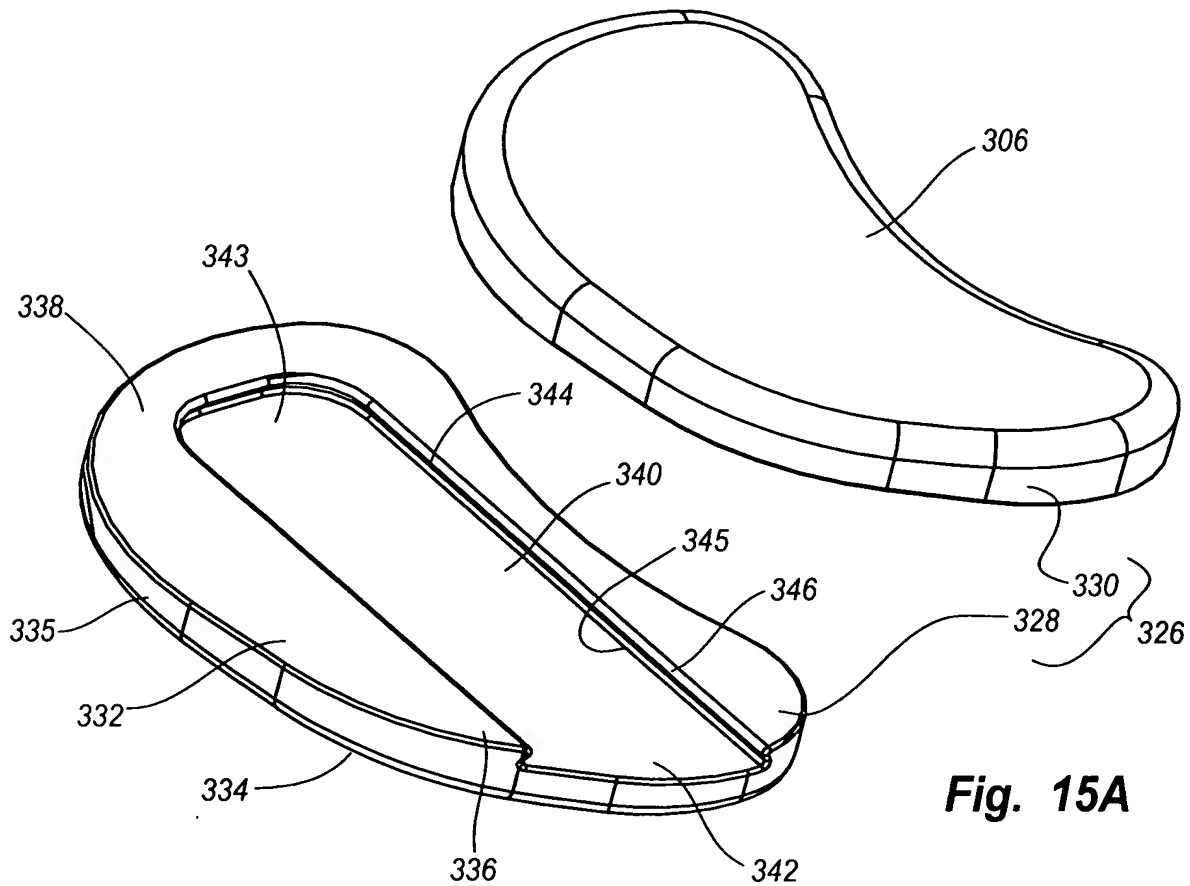
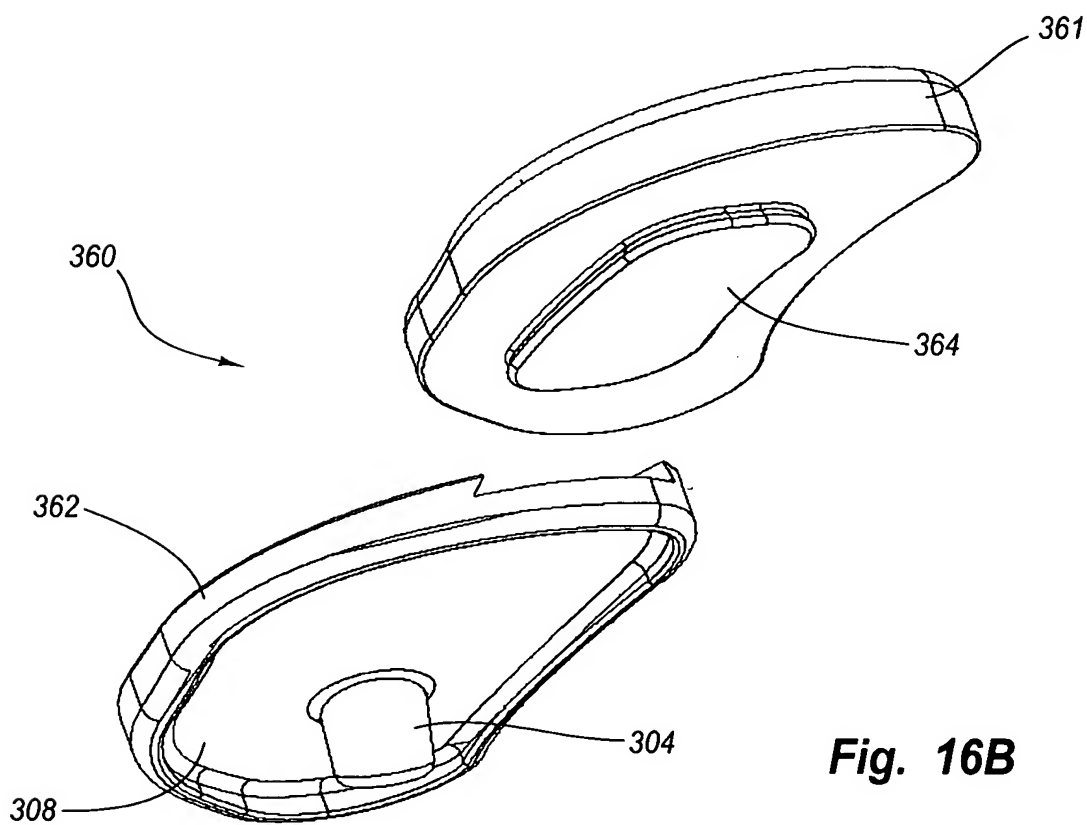
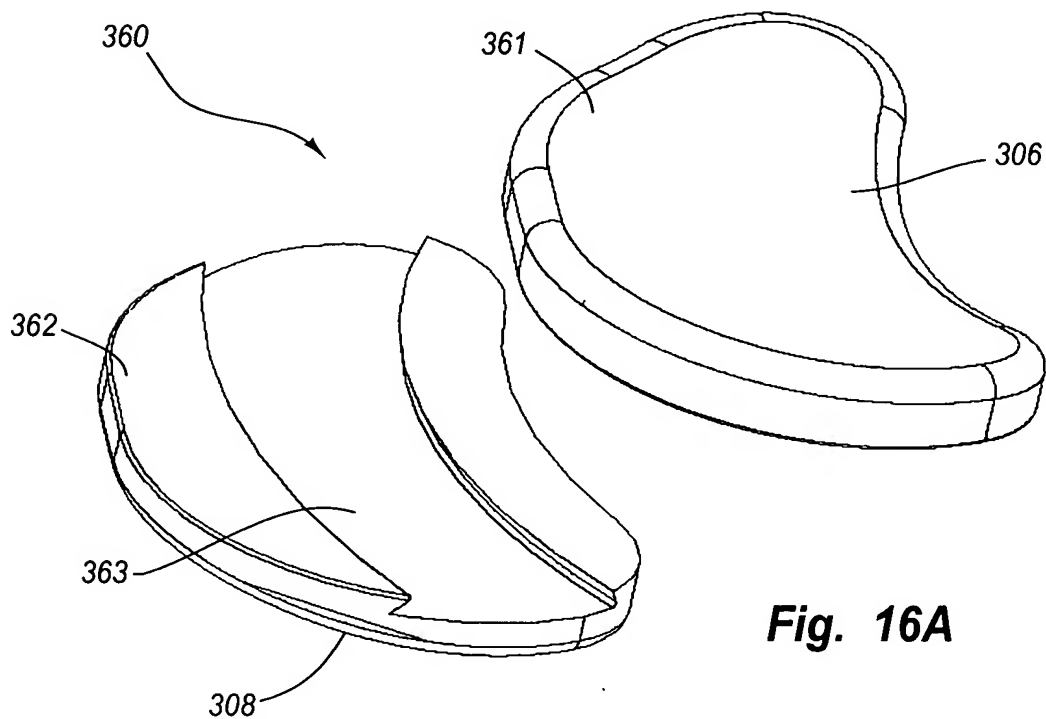


Fig. 14

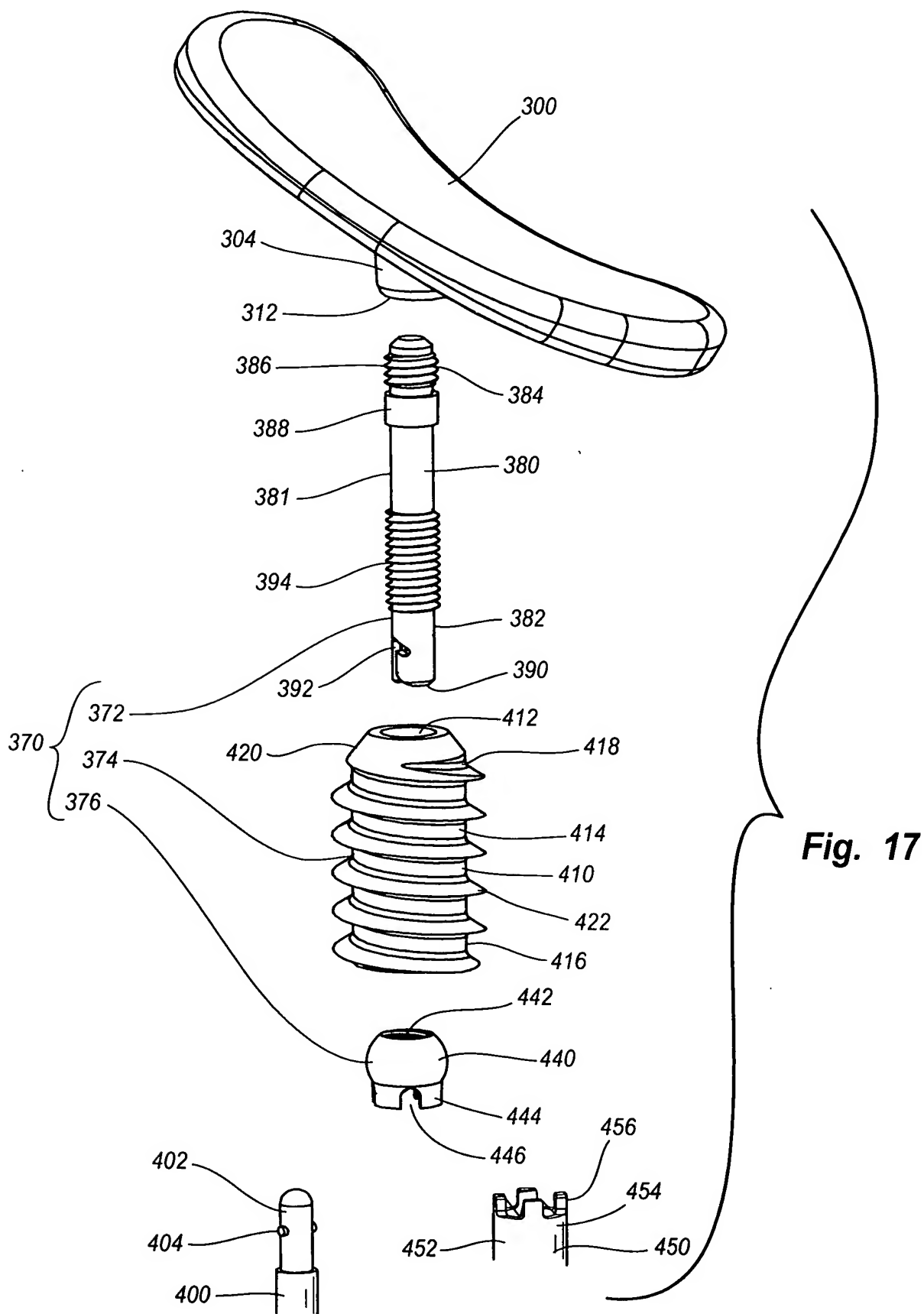
15 / 27



16 / 27



17 / 27



18 / 27

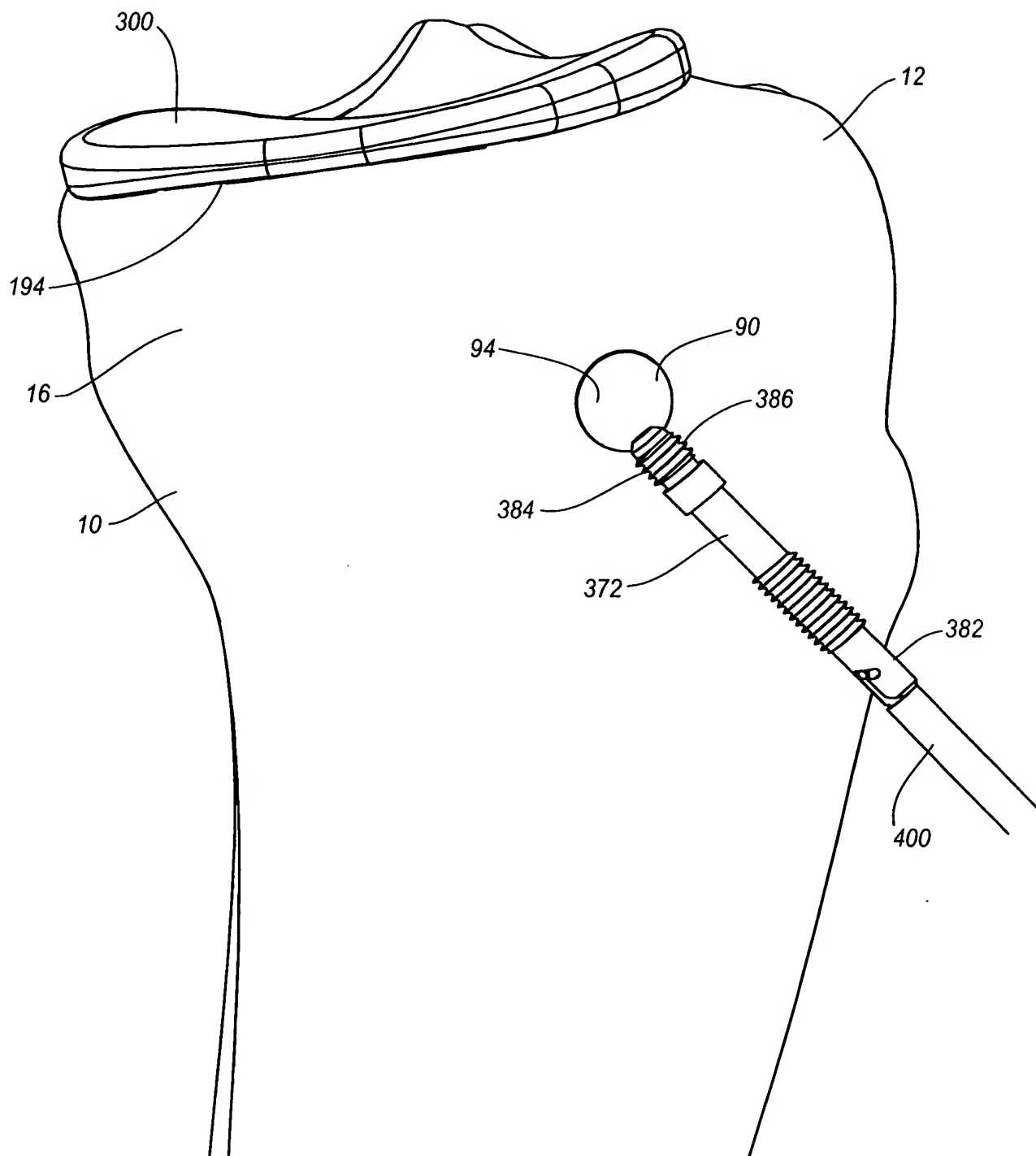


Fig. 18

19 / 27

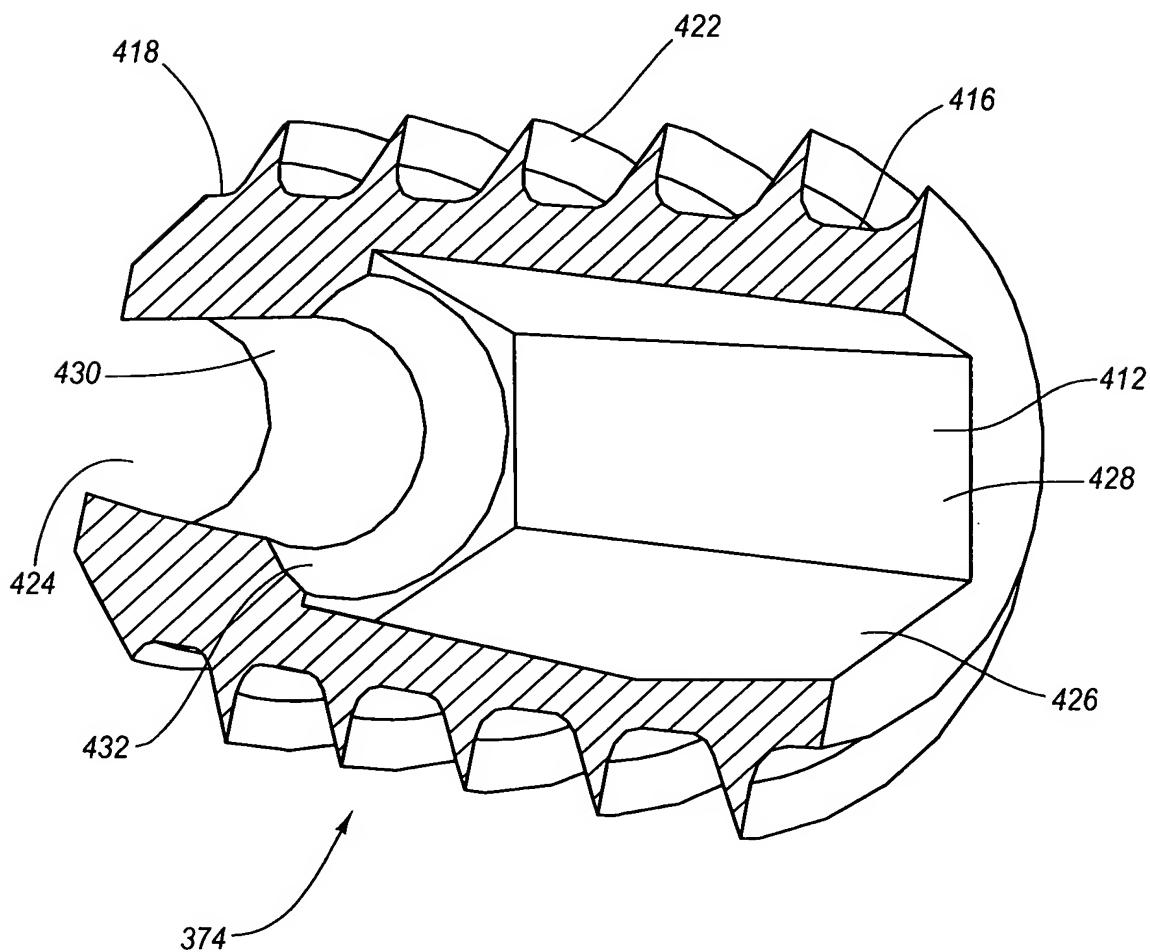


Fig. 19

20 / 27

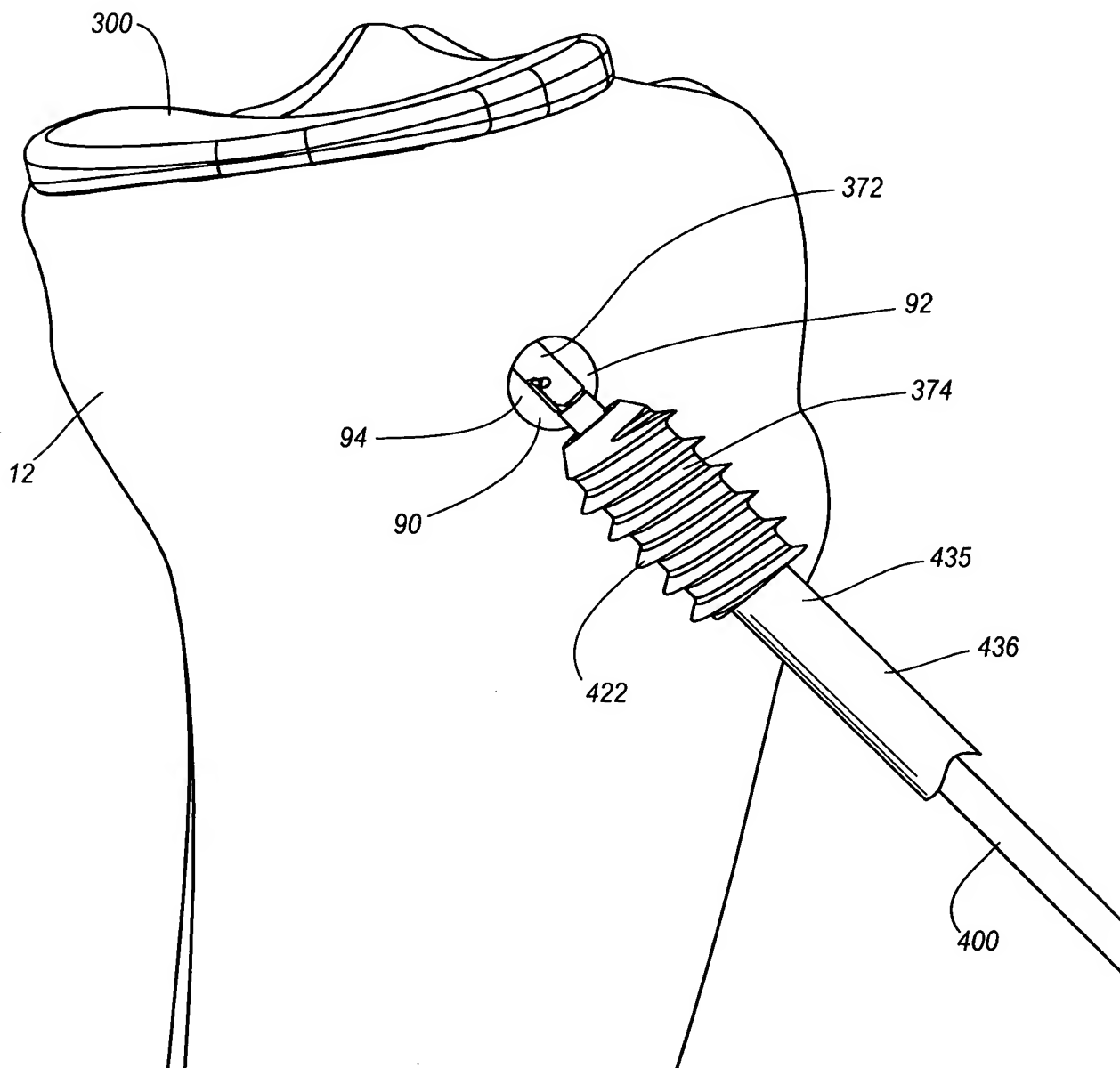


Fig. 20

21 / 27

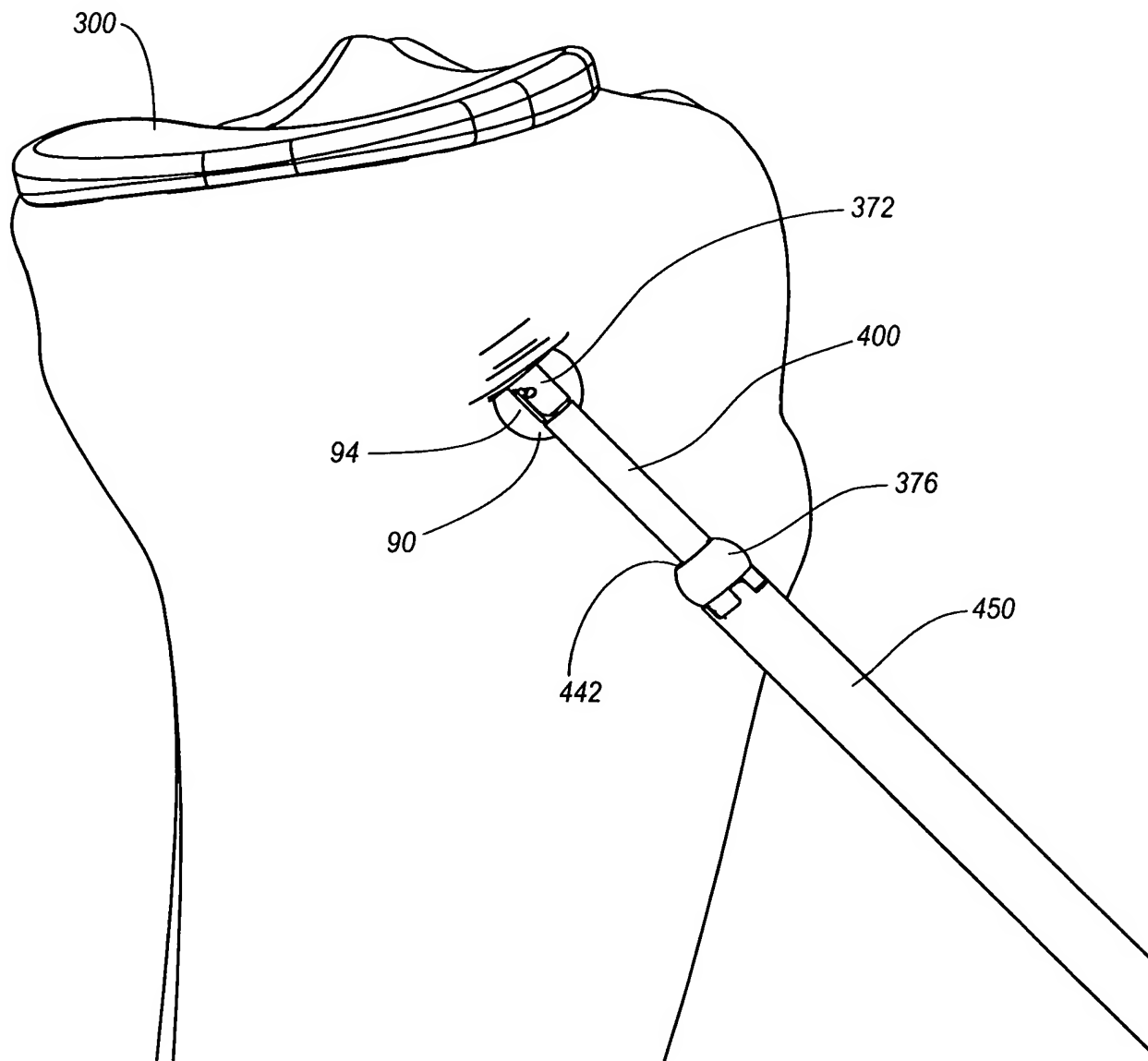


Fig. 21

22 / 27

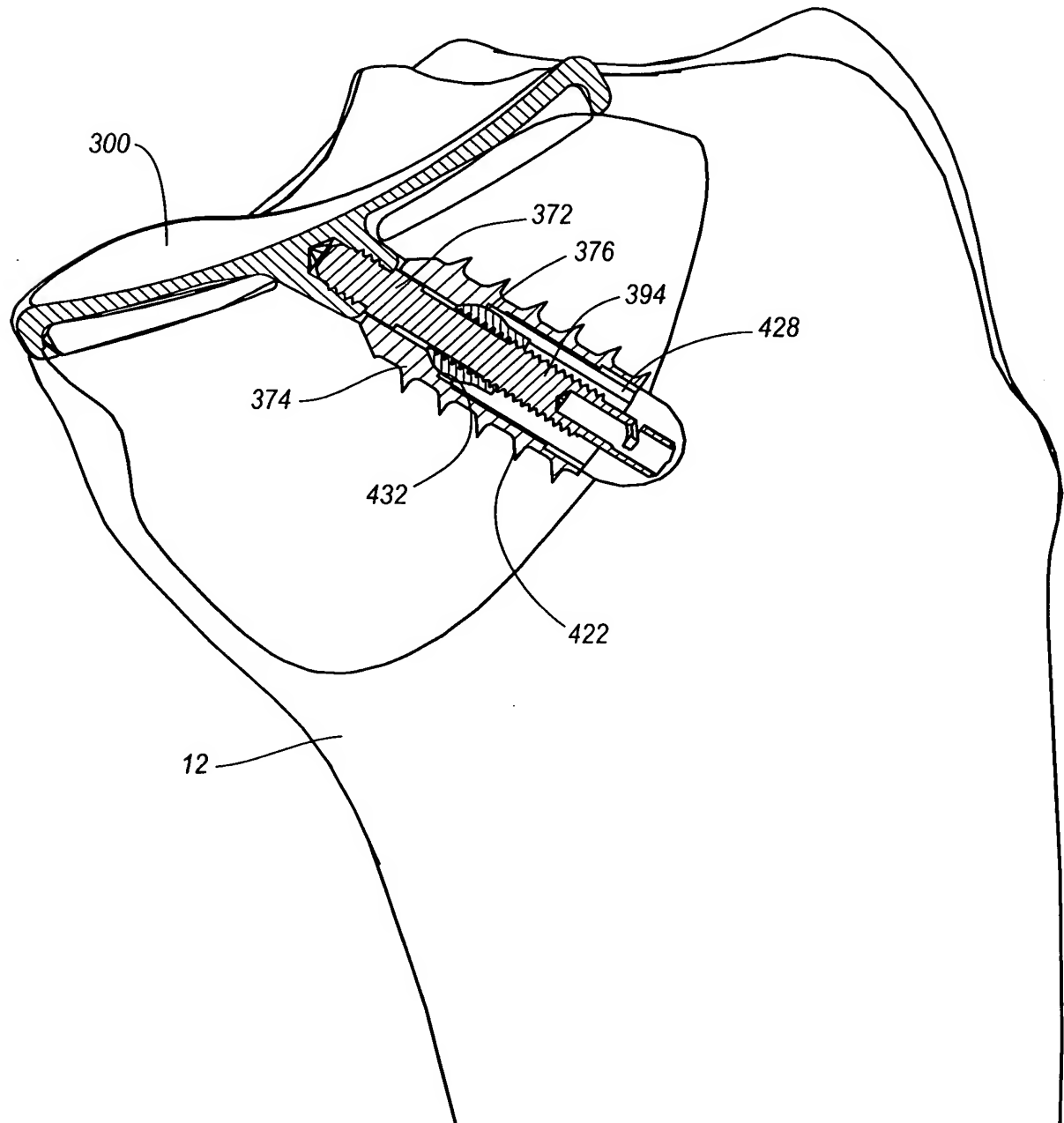


Fig. 22

23 / 27

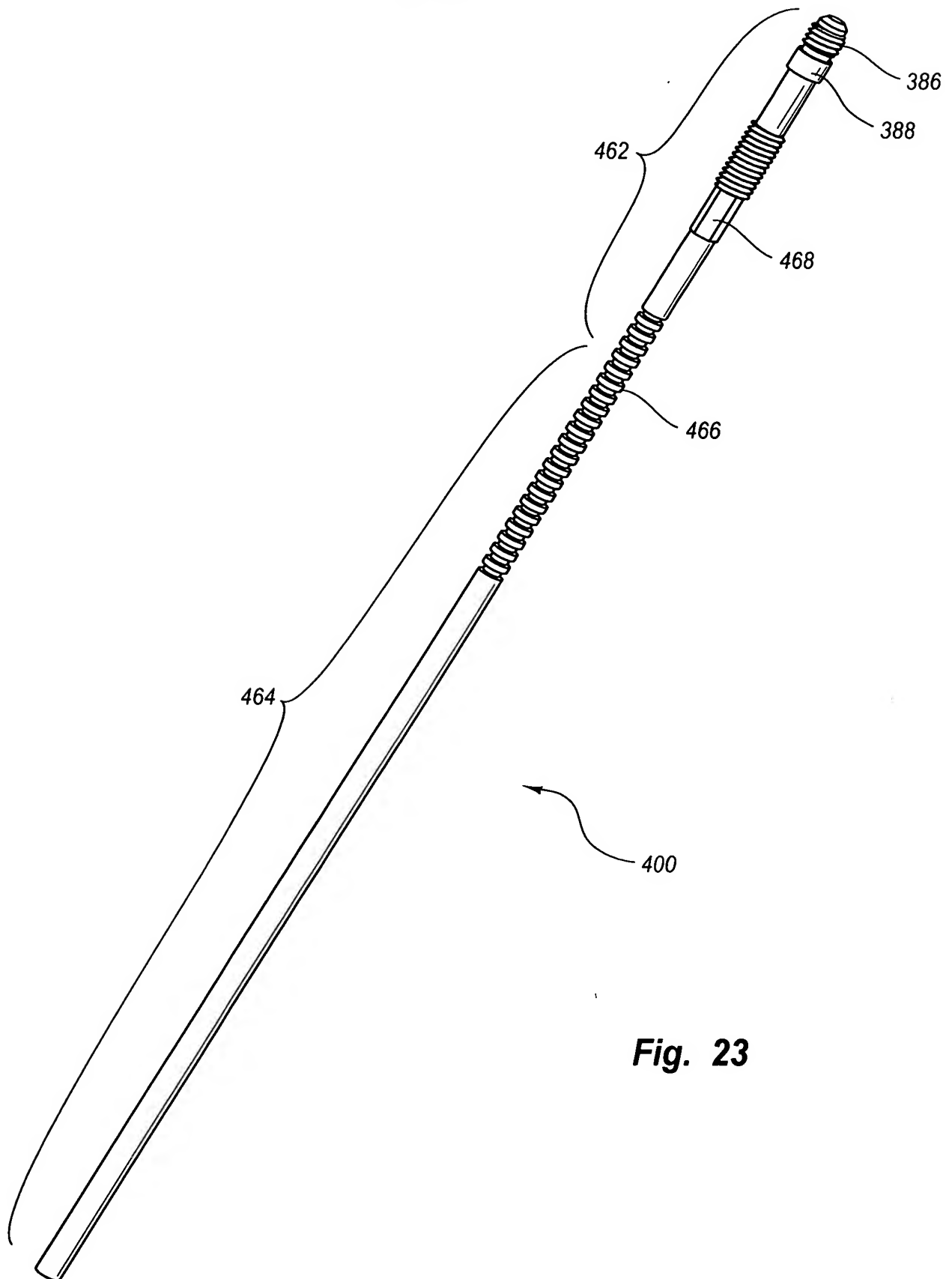


Fig. 23

24 / 27

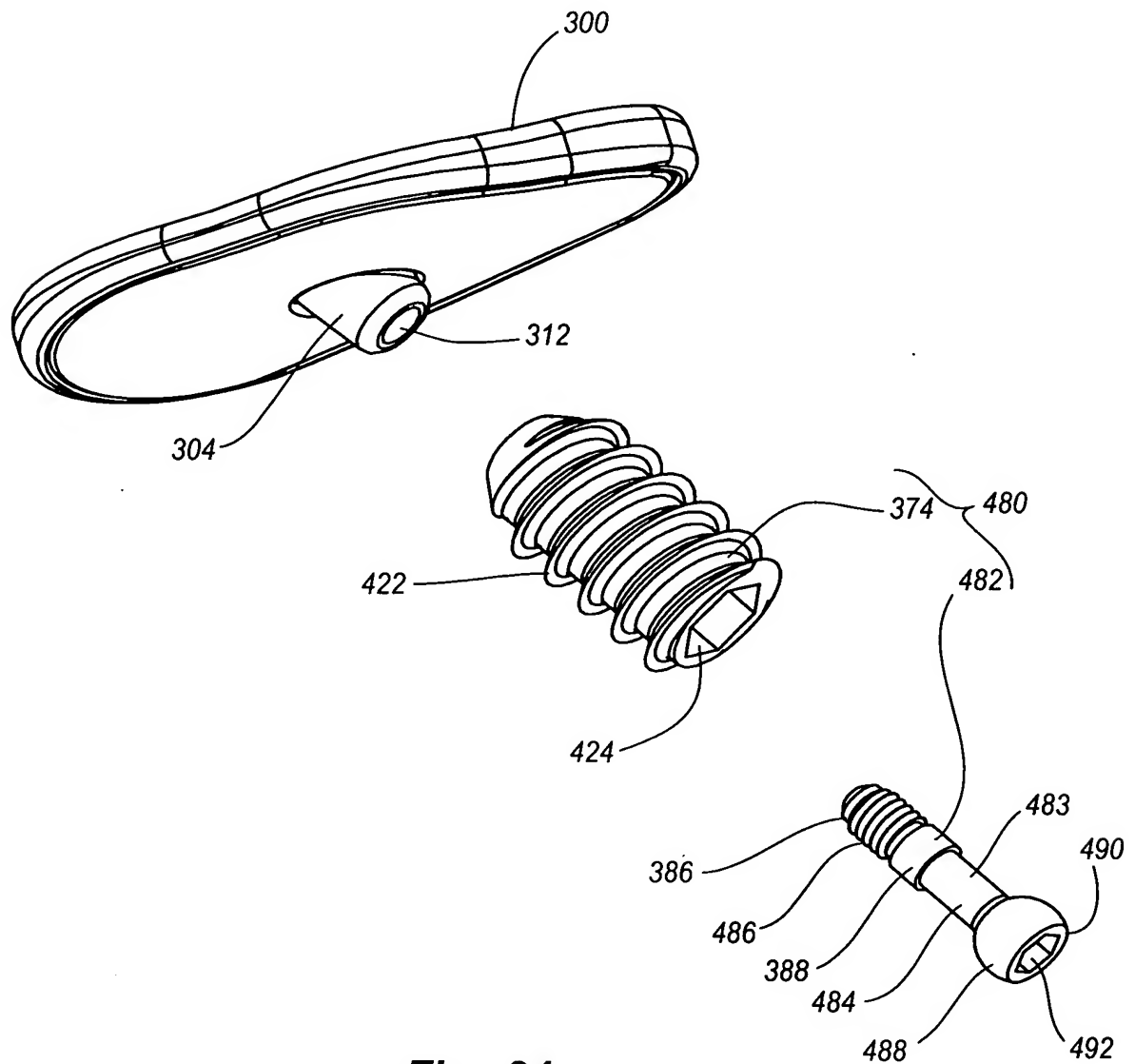


Fig. 24

25 / 27

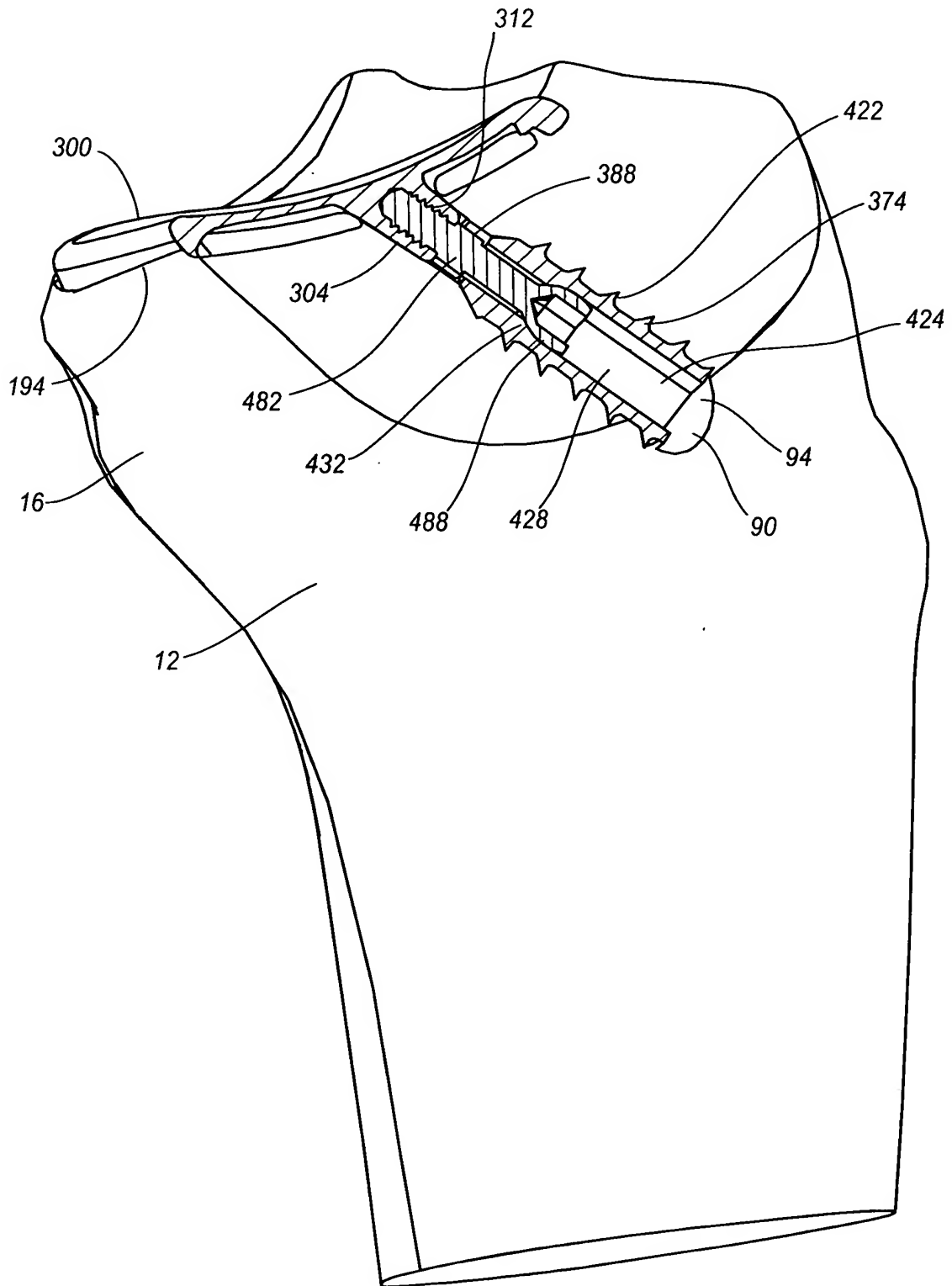


Fig. 25

26 / 27

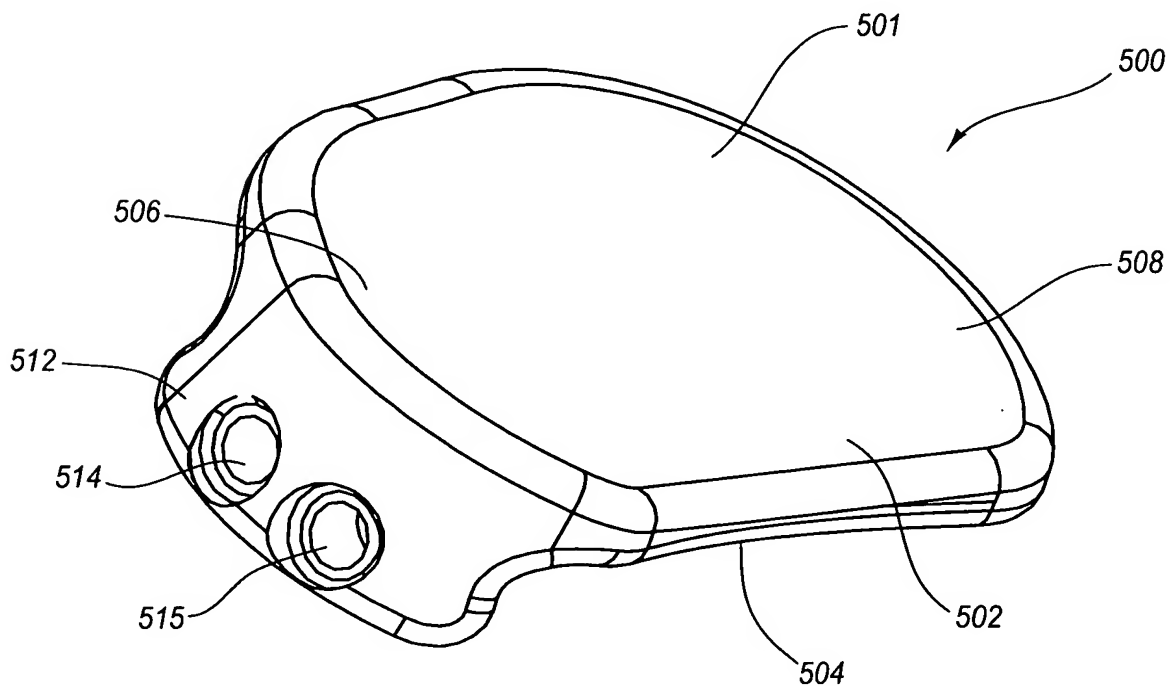


Fig. 26A

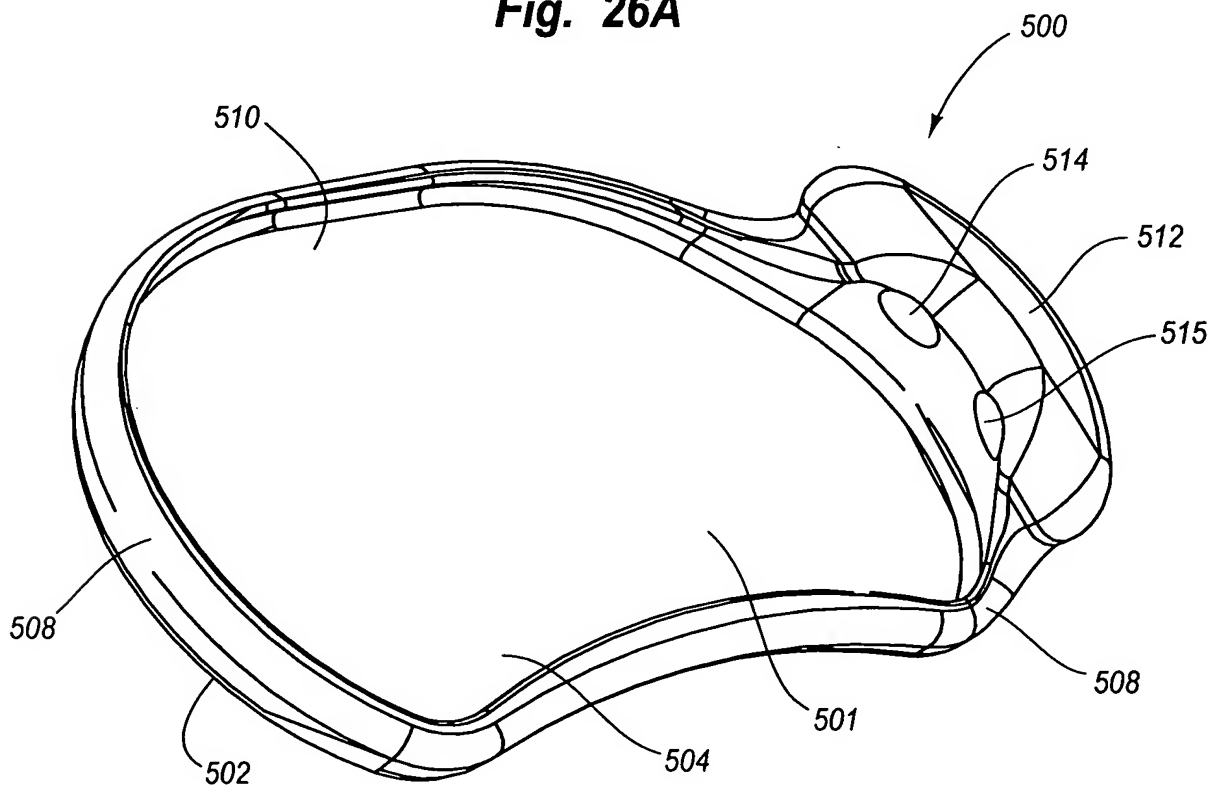


Fig. 26B

27 / 27

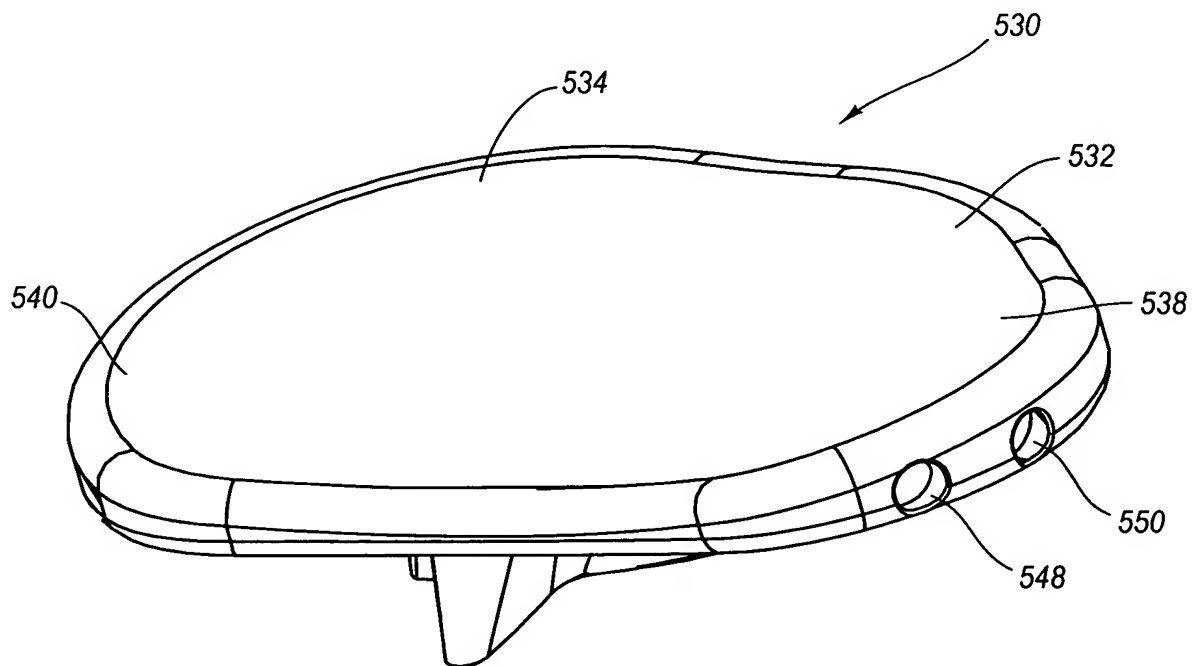


Fig. 27A

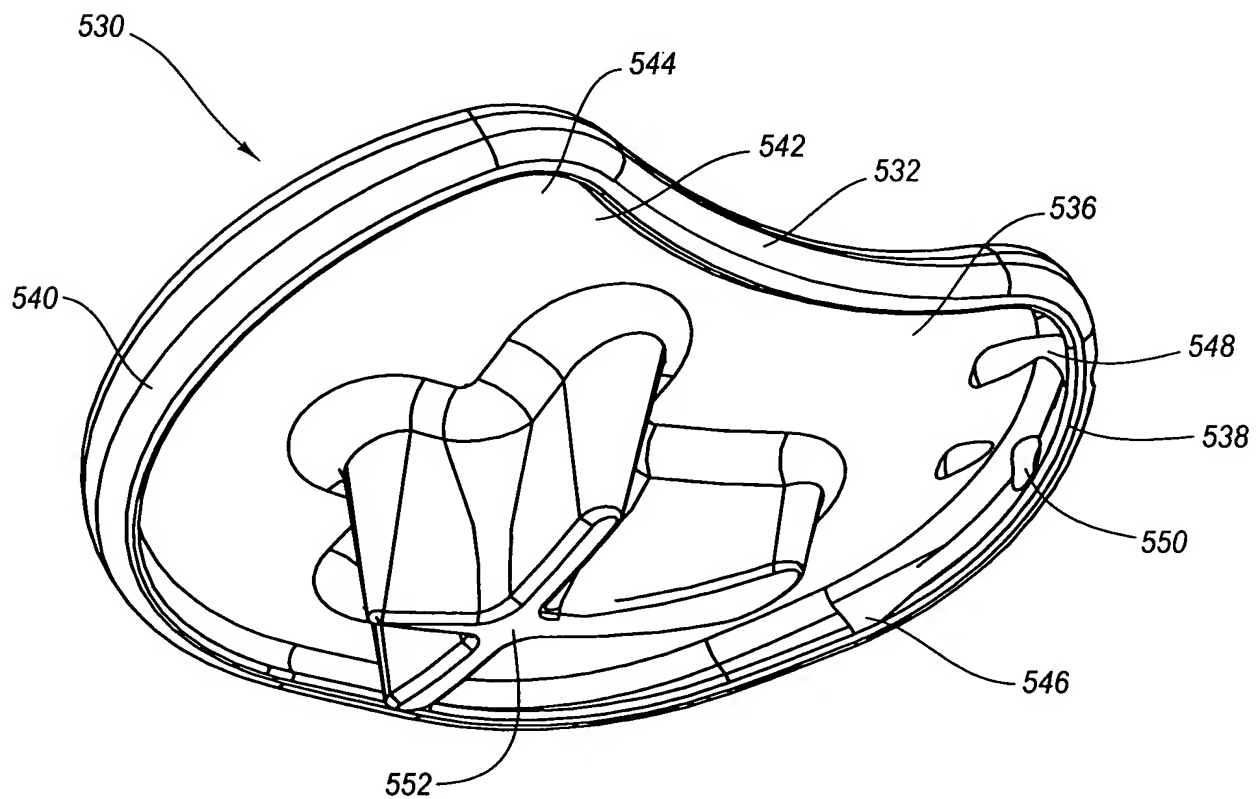


Fig. 27B